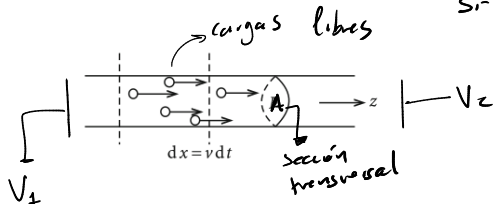


1.4.- Magnetostática

Causada por corrientes estacionarias

→ Corriente eléctrica

Si las cargas se mueven a \vec{v} constante, entonces



No generan campo eléctrico

Se logra al mover cargas dentro de un conductor

Con una diferencia de potencial dentro del material con una diferencia de potencial (una pila, por ejemplo)

Se genera calor **Efecto Joule**
Transporte de carga eléctrica
Campo magnético

\vec{J} [A/m²] → Densidad volumétrica
 \vec{K} [A/m] → Densidad de superficie
 I [A] → Corriente

Se define la corriente eléctrica

$$I = \lim_{\Delta t \rightarrow 0} \frac{\Delta q}{\Delta t} = \frac{dq}{dt}$$

Ct^{-1} = Ampere
Densidad de partículas cargadas
Velocidad de las partículas
Carga
Sección transversal del conductor

$$\vec{J}(\vec{r}, t) = \rho(\vec{r}, t) \vec{v}(\vec{r}, t)$$

Densidad de carga Densidad de carga Campo de velocidad

$$I = \int_A \vec{J} \cdot d\vec{a}$$

Conservación de la carga.

→ De la definición de \vec{J} , notamos que $\oint_{\partial V} \vec{J} \cdot d\vec{a} \equiv$ Corriente que atraviesa a la superficie cerrada del volumen V (1)

→ Asimismo, dentro de ese volumen V :

$$\frac{\partial}{\partial t} \int_V \rho d^3r \equiv \text{El cambio temporal de la carga dentro de } V \dots\dots (2)$$

Por la relación entre ρ y \vec{J} se cumple que

$$0 = \oint_{\partial V} \vec{J} \cdot d\vec{a} + \frac{\partial}{\partial t} \int_V \rho d^3r = \oint_{\partial V} \vec{J} \cdot d\vec{a} + \int_V \frac{\partial \rho}{\partial t} d^3r = \int_V \left(\nabla \cdot \vec{J} + \frac{\partial \rho}{\partial t} \right) d^3r \Rightarrow \nabla \cdot \vec{J} + \frac{\partial \rho}{\partial t} = 0$$

Como V es arbitrario Conservación de la carga
Tenemos de la divergencia Ecuación de continuidad

• Materiales óhmicos y el gas de electrones

En la definición de la carga se asumió que la corriente se genera por una diferencia de potencial dentro de un conductor

↳ = Campo eléctrico

Entonces se puede relacionar a estos conceptos como

Lege de Ohm

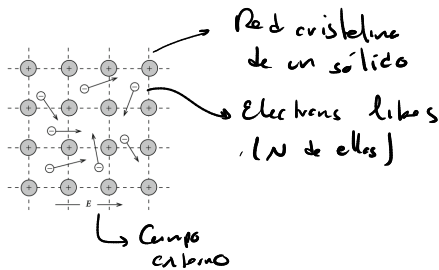
$$\vec{J} = \sum \sigma_{ij} \vec{E}_j$$

Componente lineal de transporte

$$\vec{J} = \sigma \vec{E} = \sigma \nabla \phi$$

Esta es una relación constitutiva

→ Materiales
→ Óhmicos
→ No óhmicos



Si $\vec{E}=0$, $\langle \vec{v} \rangle = \frac{1}{N} \sum_j \vec{v}_j \approx \vec{0}$

Si $\vec{E} \neq 0$, $\langle \vec{v} \rangle$ es tal que $m \frac{d\vec{v}_i}{dt} = -q_e \vec{E} \approx m \frac{d\vec{v}_i}{dt} = -q_e \vec{E}$

$$\Rightarrow \langle \vec{v} \rangle = \frac{1}{N} \sum_j \frac{e}{m} \vec{E} t_j = -\frac{q_e}{Nm} \vec{E} \sum_j t_j = -\frac{q_e}{Nm} \vec{E} \sum_j 1$$

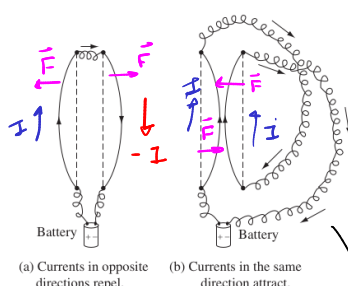
Entonces si: $\vec{J} = -\frac{p}{V} q_e \langle \vec{v} \rangle = \frac{q_e^2 \tau}{Vm} \vec{E} = \sigma \vec{E}$

\approx tiempo promedio entre colisiones con iones y otros

Un gas de e^- es un metal clásico.

→ Ley de Biot-Savart

Una vez entendido el origen de las corrientes, la siguiente pregunta es ¿cómo interactúan?



- Corrientes antiparalelas: se repelen
- Corrientes paralelas: se atraen

Notemos que \vec{I} tiene la dirección de las cargas, entonces

$$\vec{I} = q \vec{v}$$

→ La fuerza \vec{F} es perpendicular a \vec{v}

Históricamente esto se trató, inicialmente, como algo ajeno a la fuerza eléctrica, y se definió como magnetismo.

La definición del campo magnético viene de experimentos como los siguientes

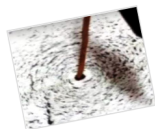
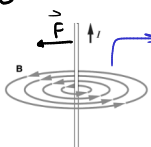


Figure 2. The magnetic field lines of a straight wire in the experiment (on the left) and in illustration (on the right).

Thai Quoc Bao et al 2019 J. Phys.: Conf. Ser. 1340 012031



Se define un campo \vec{B} que circula una corriente.

$$\vec{F}_m = q \vec{v} \times \vec{B} \rightarrow \text{Parte magnética de la Fuerza de Lorentz}$$

Aunque esta contribución se debe a Oliver Heaviside

$$\vec{B} = \frac{\mu_0}{4\pi} \int_V \frac{\vec{J}_{tot} \times (\vec{r} - \vec{r}')}{\|\vec{r} - \vec{r}'\|^3} dV$$

$\mu_0 \equiv 4\pi \times 10^{-7} \text{ N/A}^2$ Aunque para casos en 1D (alambres) se reduce a

$$\vec{B} = \frac{\mu_0}{4\pi} \int_0^{\infty} \frac{I d\vec{l}' \times (\vec{r} - \vec{r}')}{\|\vec{r} - \vec{r}'\|^3}$$

Tomen en cuenta la dirección de \vec{B} observada

Ejemplo:

Empleando coordenadas cilíndricas

$$\vec{r} = s \hat{e}_s$$

$$\vec{r}' = z' \hat{e}_z$$

Notemos que si el cable es infinito

$$d\vec{l}' \times (\vec{r} - \vec{r}') \sim \hat{e}_\phi \sin\theta dz' = \hat{e}_\phi \cos\theta dz'$$

Superficies al cable como infinito

Además

$$\tan\theta = z'/s \Rightarrow z' = s \tan\theta \Rightarrow dz' = s \sec^2\theta d\theta = \frac{s}{\cos^2\theta} d\theta$$

$$\cos\theta = \frac{s}{\|\vec{r} - \vec{r}'\|} \Rightarrow \frac{1}{\|\vec{r} - \vec{r}'\|^2} = \frac{\cos^2\theta}{s^2}$$

Sustituyendo

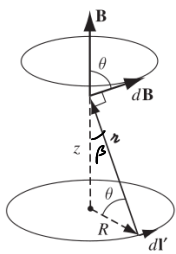
$$\|\vec{B}\| = \frac{\mu_0}{4\pi} I \int_{\theta_1}^{\theta_2} \left(\frac{\cos^2\theta}{s^2} \right) \left(\frac{s}{\cos^2\theta} d\theta \right) = \frac{\mu_0 I}{4\pi s} \int_{\theta_1}^{\theta_2} \cos\theta d\theta = \frac{\mu_0 I}{4\pi s} \sin\theta \Big|_{\theta_1}^{\theta_2}$$

Para un cable infinito

$$\theta_2 \rightarrow +\pi/2 \Rightarrow \vec{B}(s) = \frac{\mu_0 I}{2\pi s} \hat{e}_\phi$$

abre infinito

$$\theta_1 \rightarrow -\pi/2$$



Para este caso empiezas coordenadas cilíndricas nuevamente

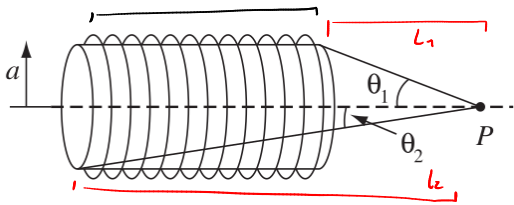
$$\begin{aligned} \vec{r}' &= R\hat{e}_\rho \\ \vec{r} &= z\hat{e}_z \end{aligned} \quad \left. \begin{array}{l} \text{Necesito } \|\vec{r}' - \vec{r}\| \sim \sin\beta = \cos\theta \text{ por al integrar se va} \\ \text{la componente horizontal} \end{array} \right\}$$

$$\|\vec{r}' - \vec{r}\|^2 = z^2 + R^2, \quad \cos\theta = \frac{R}{\|\vec{r}' - \vec{r}\|}$$

$$\hat{e}_z = \frac{\mu_0 I}{4\pi} \int \frac{(R d\phi) \cdot \cos\theta}{\|\vec{r}' - \vec{r}\|^2} \hat{e}_z = \frac{\mu_0 I}{4\pi} \int d\phi \frac{R^2}{(z^2 + R^2)^{3/2}} \hat{e}_z = \frac{\mu_0 I R^2}{2(z^2 + R^2)^{3/2}} \hat{e}_z$$

Solenoides

n vueltas por longitud



Sabemos que para una espira

$$B_\perp = \frac{\mu_0 I a^2}{2(z^2 + a^2)^{3/2}}$$

Necesito que vamos integrar $B_{\text{tot}} = \int_{L_1}^{L_2} B_\perp n dz$

pero $\tan\theta = a/z \Rightarrow z = a \cot\theta$

$$\Rightarrow \sec^2\theta d\theta = -\frac{a}{z^2} dz$$

$$\Rightarrow \frac{d\theta}{\cos^4\theta} = -\frac{1}{a} \left(\frac{a}{z}\right)^2 dz = -\frac{\tan\theta}{a} dz = -\frac{\sin^2\theta}{\cos^3\theta a} dz$$

$$\Rightarrow dz = -\frac{a d\theta}{\sin^2\theta}$$

$$\therefore B_{\text{tot}} = \frac{\mu_0 I a^2 n}{2} \int_{L_1}^{L_2} \frac{dz}{(z^2 + a^2)^{3/2}} = \frac{\mu_0 I a^2 n}{2} \int_{\theta_1}^{\theta_2} \frac{-d\theta}{\sin^2\theta} \frac{a}{\underbrace{[a^2(\cot^2\theta + 1)]^{3/2}}_{\text{csc}^3\theta}} = \frac{\mu_0 I a^2 n a}{2 a^3} \int_{\theta_1}^{\theta_2} \frac{-d\theta}{\sin^2\theta \cdot \text{csc}^3\theta} = \frac{\mu_0 I n}{2} \int_{\theta_1}^{\theta_2} \sin\theta (-d\theta)$$

por lo tanto

$$B_{\text{tot}} = \frac{\mu_0 I n}{2} \cos\theta \Big|_{\pi}^0 = \mu_0 I n$$

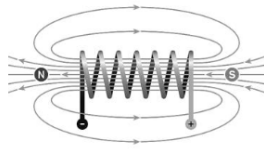
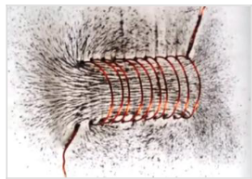


Figure 4. The magnetic field lines of a solenoid in the experiment (on the left) and in illustration (on the right).